



IRANIAN SOCIETY of
CRYSTALLOGRAPHY
and MINERALOGY

Vol. 16, No. 2, summer 1387/2008

IRANIAN JOURNAL OF
CRYSTALLOGRAPHY
and MINERALOGY

Studies of petrography and petrogenesis of Incheh intrusive body, east of Heris, East-Azarbaidjan.

Gh. Hosseinzadeh^{1,2}, M. Moayyed¹, A. A. Calagari^{1,2}, B. Hajialilu³, M. moazenzen¹

1- Geology Department, Faculty of Natural Sciences, Tabriz University, Tabriz 51664.

2- Research Institute for Fundamental Sciences, Tabriz University, Tabriz 51664.

3- Geology Department, Payame-Nour University, Tabriz.

E-mail: Hosseinzadehg@Yahoo.com

(Received: 16/6/2007, in revised form: 4/2/2008)

Abstract: Incheh granitoid intrusive body is located in east of Heris, East-Azarbaidjan. It intruded the older rock units including the Sonajil sub-volcanic stock (upper Eocene-lower Oligocene) of micro-diorite porphyry composition. The Incheh intrusive ranges in composition from diorite through syeno-diorite to quartz-diorite. The major constituent minerals include plagioclase, hornblende, and pyroxene accompanied by minor amounts of biotite, alkali-feldspars, quartz, olivine, epidote, and tourmaline. These rocks feature dominantly porphyritic texture, however, granular, trachytoid, and ophitic textures are also sporadically present. The Incheh intrusive has been evolved by the influence of magmatic differentiation, fractional crystallization, assimilation, and crustal contamination. Chemical analyses show that the rocks of Incheh intrusive are chiefly metaluminous, and belong to high-K calc-alkaline to shoshonitic magma series. From the viewpoint of tectonic environment, the Incheh body was emplaced in a post-collision volcanic arc and an active continental margin setting.

Keywords: Incheh, Sonajil; Okuzdaghi; Differentiation index; Calc-alkaline series; Post-collision arcs.



بررسی‌های سنگ‌شناسی و سنگ‌زایی توده نفوذی اینچه (شرق هریس، آذربایجان شرقی)

قادر حسین‌زاده^۱^۲، محسن مؤید^۱، علی اصغر کلاگری^۱^۳، بهزاد حاجی‌علیلو^۱، محسن مؤذن^۱

۱- گروه زمین‌شناسی، دانشکده علوم طبیعی، دانشگاه تبریز

۲- انستیتو تحقیقات علوم پایه - تبریز

۳- گروه زمین‌شناسی، دانشگاه پیام نور تبریز

پست الکترونیکی: Hosseinzadehgh@yahoo.com

(دریافت مقاله: ۱۳۸۶/۳/۲۶ ، نسخه نهایی: ۱۳۸۶/۱۱/۱۵)

چکیده: توده خارانمای (گرانیتوئیدی) اینچه در شرق هریس در استان آذربایجان شرقی واقع شده است. این توده به درون واحدهای سنگی قدیمی‌تر از جمله استوک نیمه آتشفسانی سوناجیل (ائوسن فوکانی - الیگوسن زیرین) با ترکیب میکرودیوریت پورفیری نفوذ کرده است. ترکیب توده نفوذی اینچه از دیوریت، سینودیوریت تا کوارتز دیوریت بوده و در نمودارهای سنگ‌شناسی در گستره دیوریت، سینودیوریت و کوارتزدیوریت قرار می‌گیرد. کانی‌های اصلی آن شامل پلازیوکلаз، هورنبلند و پیروکسن است و به صورت فرعی بیوتیت، فلدسپار قلیایی، کوارتز، الیوین، اپیدوت و تورمالین در آن دیده می‌شود. بافت غالب این سنگ‌ها پورفیری است، ولی بافت‌های دانه‌ای، تراکیت‌ویکی و افیتیک نیز به صورت فرعی دیده می‌شوند. توده اینچه تحت تاثیر تفریق، تبلور بخشی و هضم و آلیش متحول شده است. تجزیه‌های شیمیائی نشان می‌دهند که سنگ‌های این توده غالباً متألومینوس بوده و به سری ماغمایی قلیایی - آهکی با پاتاسیم بالا تا شوشوئنیتی تعلق دارند. از نظر محیط زمین ساختی، این توده در موقعیت قوس آتشفسانی پس برخوردی و حواشی فعال قاره‌ای جایگیری کرده است.

واژه‌های کلیدی: اینچه، سوناجیل، اکوزداغی، شاخک‌تفریق، سری قلیایی-آهکی، قوس‌های پس/از برخورد.

یک رساله کارشناسی ارشد [۶] روی برخی واحدهای سنگی مطالعاتی انجام شده است. لذا در این مقاله سعی شد تا سنگ‌شناسی، کانی‌شناسی، و سنگ‌زایی توده نفوذی اینچه به تفصیل مورد بررسی قرار گیرد. این کار پژوهشی می‌تواند در آگاهی از سنگ‌شناسی و سنگ‌زایی این توده و توده‌های نفوذی دیگر شمال‌غرب از قبیل توده شیورdag، انزان، خانکندي و... مفید باشد.

روش مطالعه

بررسی‌های صحرائی و نمونه‌برداری سطحی از منطقه مورد مطالعه طی چندین مرحله در سال‌های ۸۴ و ۸۵ صورت گرفت

مقدمه

گستره مورد مطالعه، در فاصله ۱۷ کیلومتری شرق شهر هریس در استان آذربایجان شرقی واقع شده است. در این منطقه از سال ۱۳۸۰ پژوهه‌های مختلف زمین‌شناسی، رئوشیمی، ژئوفیزیک و نیز پی جوییهایی در دو مرحله صورت گرفت و زمین‌شناسی اقتصادی منطقه نیز به تفصیل توسط مؤلف اول این مقاله از سال ۱۳۸۲ تاکنون بررسی شده است. با وجود پی جوییهای فراوانی که از سوی امور اکتشافات شرکت ملی صنایع مس ایران [۱-۵] انجام گرفت، تاکنون بررسی دقیق و فرآگیر سنگ‌شناسی در این منطقه صورت نگرفته است. تنها در قالب

همراه با چین خوردگی گستره واحدهای آتشفشاری و آذرآواری، و جایگیری نفوذی‌های خارانما در الیگومن (فاز پیرنه) بوده است [۹]. قدیمی‌ترین واحدهای سنگی در این منطقه، نهشته‌های آتشفشاری و آذرآواری ائوسن تحتانی با ترکیب آندزیت مگاپورفیری، آندزیت تا آندزی بازالت و توف‌های وابسته بوده و توده نیمه عمیق سوناجیل پورفیری در زمان ائوسن فوقانی - الیگومن بدرون آنها نفوذ کرده است. فعالیت نفوذی بعدی در این منطقه، تزریق توده دیوریتی، کوارتزدیوریتی تا مونزونیتی اینچه و دایک‌های وابسته به درون توده‌های آتشفشاری ائوسن و نیز توده سوناجیل پورفیری بوده‌اند که آثار دگرگونی در حد رخساره آلیت - اپیدوت هورنفلس در مرز تماس آنها گسترش یافته است. در نهایت گدازه‌های تراکیتی، تراکی آندزیتی تا تراکی آندزیت بازالتی اکوزداغی با سن پلیو-کواترنری معرف جوانترین فاز ماقمایی در این منطقه است (شکل ۱).

که در نهایت نقشه زمین‌شناسی و دگرگونی دقیق منطقه در مقیاس ۱/۵۰۰۰ تهیه شد. تعداد ۲۲ نمونه از توده نفوذی اینچه و دایک‌های وابسته به آن، پس از بررسی‌های دقیق کانی-شناسی به روش فلورسانی پرتو X (XRF) و پلاسمای جفت شده القائی (ICP) در آزمایشگاه ALS-Chemex کانادا مورد تجزیه عناصر اصلی، فرعی، و کمیاب قرار گرفتند (جدول ۱). همچنین تعداد ۱۰ نمونه نیز در آزمایشگاه کانسaran بینالود بروش XRF و ۵ نمونه نیز در دانشگاه لئوبن اتریش بروش ریز پردازی الکترونی (EPMA) بررسی شدند.

زمین‌شناسی

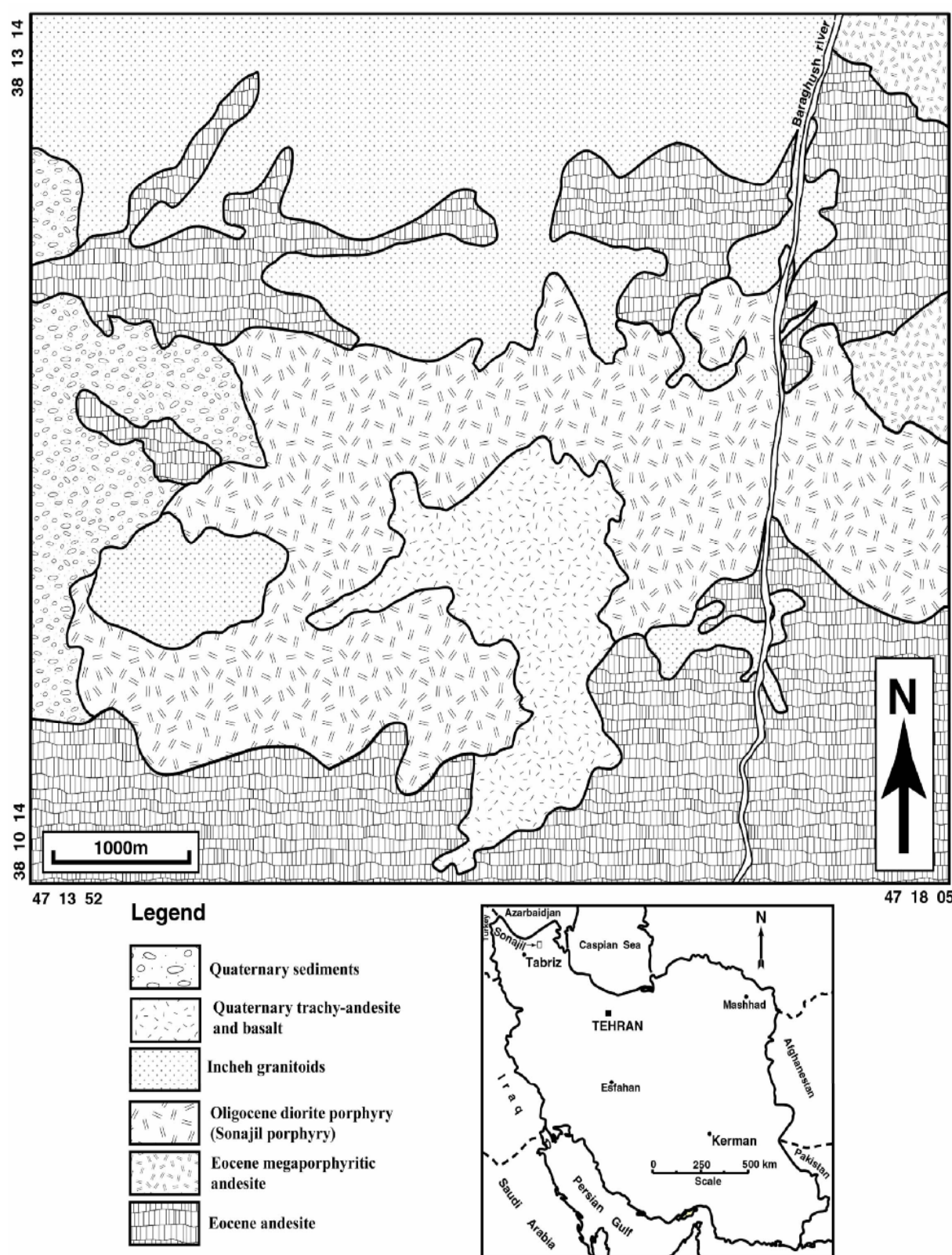
گستره مورد بررسی در رده‌بندی‌های زمین‌شناسی ایران در زون البرز - آذربایجان [۷] و زون آتشفشاری ترشیر - کواترنری [۸] قرار می‌گیرد. از ویژگی‌های بارز این زون، فعالیت ماقمایی گستردۀ ترشیری است که آغاز آن در ائوسن و نقطه اوج آن

جدول ۱ نتایج آنالیز نمونه‌های توده گرانیتوئیدی اینچه بروش XRF (اکسیدهای اصلی) و ICP عناصر فرعی و کمیاب.

	G106	G16	G51	G58	G94	T18	T27	T28	T39	T40B	T44	T55	T56B	T8	T85	T87	T97	T111	T114	T119	T120B	T122
SiO ₂ (%)	59,57	60,05	59,33	60,02	57,33	59,72	52,09	51,34	54,16	55,27	53,98	64,04	65,71	59,61	53,93	54,16	52,9	52,46	52,74	49,97	51,45	59,69
Al ₂ O ₃ (%)	18,71	17,71	18,6	18,86	18,45	18,73	18,89	18,95	17,56	17,13	15,18	18,34	17,69	18,02	17,97	19,36	19,06	18,25	18,61	18,53	19,09	18,82
FeO (%)	2,01	2,22	1,82	1,8	2,93	2,27	4,56	4,8	3,46	3,42	2,67	1,56	1,42	2,43	3,75	4,13	3,4	4,22	4,14	4,32	4,52	1,82
Fe ₂ O ₃ (%)	2,1	2,23	1,94	1,96	2,67	2,05	3,17	3,41	2,61	2,96	1,89	1,66	1,53	2,04	3,33	3,05	3,01	3,37	3,9	3,01	3,42	2,29
CaO (%)	4,81	4,98	4,79	5,22	5,92	5,65	6,54	6,29	6,43	6,46	8,5	2,06	3,26	5,35	4,41	5,77	4,81	5,67	5,44	6,44	5,91	2,4
MgO (%)	1,33	1,54	1,02	1,28	2,08	0,6	3,49	3,77	4,21	3,78	2,31	0,83	0,75	1,46	3,22	3,66	3,25	4,05	3,81	3,57	3,95	1,29
Na ₂ O (%)	4,74	4,25	4,81	5,05	4,02	4,5	3,53	3,47	3,81	4,11	2,82	6,09	5,83	4,58	4,95	3,56	3,57	3,12	3,55	3,25	3,92	4,66
K ₂ O (%)	2,65	2,81	2,75	2,19	2,25	2,56	2,64	2,65	2,41	2,33	2,85	1,82	1,81	2,44	3,03	2,49	4,48	3,74	3,64	3,02	2,84	5,94
TiO ₂ (%)	0,51	0,5	0,48	0,5	0,7	0,49	0,82	0,77	0,69	0,65	0,72	0,42	0,43	0,54	0,68	0,75	0,77	0,92	0,87	0,82	0,87	0,58
MnO (%)	0,07	0,08	0,07	0,07	0,1	0,08	0,17	0,19	0,14	0,15	0,15	0,04	0,04	0,08	0,18	0,18	0,15	0,19	0,24	0,13	0,17	0,13
P ₂ O ₅ (%)	0,24	0,2	0,2	0,21	0,21	0,22	0,28	0,26	0,19	0,2	0,26	0,16	0,17	0,24	0,37	0,29	0,36	0,39	0,38	0,41	0,44	0,25
LOI (%)	2,02	1,69	2,37	1,82	2,61	2,74	1,41	2,57	2,86	1,22	8,11	1,45	0,93	1,93	3,24	1,72	2,42	2,51	1,97	5,36	2,35	1,55
Total	99,25	98,79	98,64	99,34	99,9	100,1	98,47	99,43	99,22	98,13	99,92	99,83	99,94	99,97	99,91	99,94	99,89	99,85	99,61	99,77	99,83	99,86

ادامه جدول ۱

	G106	G16	G51	G58	G94	T18	T27	T28	T39	T40B	T44	T55	T56B	T8	T85	T87	T97	T111	T114	T119	T120B	T122	
Ba (ppm)	۱۰۱۵	۱۰۱۰	۹۹۱	۹۶۰	۹۹۷	۹۷۷	۹۴۶	۱۰۶	۹۳۰	۹۱۸	۶۴۰	۸۳۹	۱۰۱۰	۹۸۴	۱۱۰۵	۱۳۲۵	۹۴۵	۹۴۳	۱۰۵۵	۹۶۰	۱۰۱۰	۱۲۰۵	
Ce (ppm)	۴۲۸	۴۴۶	۳۶۵	۴۰۱۴	۳۸۲	۴۰۱	۴۶۴	۴۱۴	۳۳۶	۳۷۳	۴۳۵	۲۵۸	۲۶۴	۴۳۳	۵۳۵	۴۹	۷۴۶	۶۴۸	۶۱۲	۵۷۳	۶۳۲	۸۸۵	
Co (ppm)	۱۲	۱۱۱	۹۸	۹۷	۱۴۶	۱۱۹	۲۲۱	۲۲۷	۱۹۸	۲۱۷	۱۷	۷	۵۲	۱۲۸	۱۷۲	۱۹	۱۹	۲۱	۱۸۶	۲۲۸	۲۲۹	۵۵۵	
Cr (ppm)	۲۰	۲۰	۱۰	۲۰	۲۰	۱۰	۱۰	۱۰	۱۵۰	۱۵۰	۲۹۰	۱۰	۱۰	۲۰	۱۰	۱۰	۲۰	۱۰	۱۰	۱۰	۱۰		
Cs (ppm)	۱۵۴	۳۸۳	۶۳۸	۴۴۴	۴۴۸	۵۱۸	۴۳۲	۶۵۶	۳۲۸	۲۸۹	۳۱۳	۴۸۳	۲۵۲	۳۷۷	۵۰۲	۶۲۵	۵۲۲	۳۳۹	۹۲۳	۱۲۲	۲۴۱	۷۳۴	
Cu (ppm)	۱۰۲	۶۹	۱۴۰	۶۱	۴۴	۱۴۰	۱۲۵	۱۳۳	۱۲۲	۲۳۵	۴۶	۲۸۴	۲۷۳	۱۳۸	۱۸۲	۱۰۳	۴۱	۱۸۶	۱۰۴	۹۴	۷۳	۳۰	
Dy (ppm)	۱۹۵	۲۱۳	۱۸۷	۱۸۲	۲۶۱	۲۲۳	۳۲۸	۳۱۴	۲۵۷	۲۷۸	۲۰۹	۱	۰۹۳	۲۱۸	۲۹۳	۳۱	۳۸۲	۳۹۶	۳۸۹	۳۲۴	۳۵	۴۳۲	
Eu (ppm)	۰۸۸	۰۸۷	۰۸۱	۰۹۳	۱۰۲	۰۹۱	۱۳۸	۱۳	۰۹۶	۱۰۲	۰۹۶	۰۶	۰۶	۰۹۶	۱۳۸	۱۳۳	۱۴۲	۱۴۸	۱۸۴	۱۵	۱۵۴	۱۶	
Gd (ppm)	۲۸	۳۰۲	۲۵۸	۲۸۱	۳۳۶	۲۷۸	۴۳۹	۳۹۷	۳۱	۳۲۱	۳	۱۴۹	۱۵۶	۲۸۳	۴۰۹	۴۰۵	۵۰۷	۵۴۷	۵۲۶	۴۶۳	۴۸	۵۶۹	
Hf (ppm)	۳۶	۴۳	۳۷	۳۵	۳۵	۳۷	۳۹	۳۱	۳۲	۳۳	۳۱	۳	۳۲	۳۶	۲۸	۳۷	۵۸	۵۳	۵۱	۳۱	۳۷	۷۵	
Ho (ppm)	۰۳۸	۰۴۳	۰۳۷	۰۳۸	۰۵۱	۰۴۶	۰۶۷	۰۶۴	۰۵۲	۰۵۶	۰۵۱	۰۲۱	۰۱۹	۰۵۱	۰۶۸	۰۷۱	۰۸۷	۹۰	۰۸۷	۰۷۲	۰۸	۰۹۹	
La (ppm)	۲۴۱	۲۵۴	۲۰۷	۲۲۴	۲۰۴	۲۱۶	۲۲۹	۲۲۲	۱۸۴	۱۹۸	۲۴۶	۱۳۶	۱۴	۲۳۲	۲۸۶	۲۵۴	۴۰	۲۲۹	۳۱۵	۳۰۹	۳۳۲	۴۸۵	
Lu (ppm)	۰۱۸	۰۲۱	۰۱۵	۰۱۴	۰۲۲	۰۱۹	۰۲۸	۰۲۷	۰۲۲	۰۲۳	۰۲۱	۰۰۸	۰۰۸	۰۲۱	۰۲۶	۰۲۸	۰۴۱	۰۳۶	۰۳۵	۰۲۸	۰۳۱	۰۴۸	
Nb (ppm)	۶۷	۹	۶۴	۶۳	۷۶	۷۸	۷۸	۷۸	۶۳	۵۹	۶۷	۱۲۲	۵۴	۵۷	۷۹	۶۶	۸۹	۲۰۲	۱۲۸	۱۳	۹۴	۱۰۶	۲۲۸
Nd (ppm)	۱۸۱	۱۸۵	۱۶	۱۷۶	۱۷۸	۱۷۲	۲۱۶	۲۰۴	۱۵۶	۱۷۴	۱۶۹	۱۰۵	۱۰۷	۱۸۲	۲۳۳	۲۲۴	۲۹۵	۲۹۷	۲۸۶	۲۵۷	۲۷	۳۴۷	
Ni (ppm)	۱۱	۷	۷	۹	۹	۸	۱۳	۱۲	۳۳	۲۴	۷۹	۹	۸	۱۱	۱۰	۱۵	۱۳	۱۵	۱۲	۱۱	۱۲	۷	
Pb (ppm)	۱۳	۲۱	۱۶	۲۴	۱۲	۱۶	۱۸	۱۰	۹	۱۲	۱۲	۱۰	۱۰	۱۷	۸	۱۱	۱۱	۱۰	۶	۱۷	۱۰	۲۳	
Rb (ppm)	۶۵	۹۰۴	۸۶۵	۵۴۷	۵۹۵	۷۶	۷۱۹	۵۹۳	۵۱۲	۵۷	۸۰۱	۴۰	۴۰۳	۷۵۶	۷۶	۶۶۶	۱۵۹۵	۸۹۷	۱۰۵۵	۶۴۶	۵۷	۱۹۴	
Sm (ppm)	۳۳۱	۳۳۶	۲۸۹	۳۱۹	۳۳۵	۳۲۲	۴۵۸	۴۲۶	۳۱۶	۳۶	۳۰۳	۱۸	۱۸۶	۳۳۱	۴۵۱	۴۳۸	۵۸۳	۵۸۸	۵۷۴	۴۹۲	۵۲۴	۶۲۲	
Sr (ppm)	۱۰۱۰	۹۳۱	۱۰۳۰	۹۴۸	۸۵۸	۹۱۹	۸۹۰	۸۳۷	۶۴۴	۹۵۶	۵۹۵	۹۹۳	۱۰۰	۹۹۰	۱۱۱۵	۷۸۸	۷۸۸	۸۰۵	۸۹۲	۹۹۲	۹۲۸	۵۱۰	
Ta (ppm)	۰۶	۰۸	۰۵	۰۶	۰۶	۰۶	۰۵	۰۵	۰۵	۰۷	۰۹	۰۴	۰۳	۰۷	۰۵	۰۵	۱۳	۰۸	۰۶	۰۷	۱۴		
Tb (ppm)	۰۳۸	۰۴	۰۳۴	۰۳۸	۰۴۸	۰۴۱	۰۶۲	۰۶	۰۴۷	۰۵	۰۳۹	۰۱۶	۰۱۵	۰۳۹	۰۰۵	۰۰۶	۰۶۹	۰۷۴	۰۷۵	۰۶	۰۶۸	۰۸۲	
Th (ppm)	۴۹۸	۸۷۴	۵۲۴	۴	۴۳۸	۶۳۴	۷۵۱	۵۶۱	۴۷۱	۵۳۱	۶۷۸	۲۴۹	۲۷۲	۶۳۶	۵۳۸	۷۴۲	۱۸۸۵	۱۱۵۵	۱۱۱	۸۳۸	۹۶۱	۲۲۲	
Tm (ppm)	۰۱۶	۰۱۹	۰۱۶	۰۱۷	۰۲۱	۰۱۹	۰۲۷	۰۲۶	۰۲۲	۰۲۳	۰۱۷	۰۰۵	۰۰۳	۰۱۷	۰۲۴	۰۲۶	۰۳۵	۰۳۳	۰۲۴	۰۲۸	۰۴۵		
U (ppm)	۱۵۲	۲۶۵	۱۶۴	۱۲۴	۱۴۴	۲۱	۲۳۳	۱۷۴	۱۴۹	۱۶۷	۱۹۳	۰۸۹	۰۸۵	۲۲	۱۷۵	۱۸۹	۵۶۳	۳۵۵	۳۲۲	۲۴۴	۲۹۴	۶۷۲	
V (ppm)	۱۰۸	۱۱۶	۱۱۲	۱۱۰	۱۷۷	۱۲۰	۲۲۵	۲۳۵	۲۰۸	۲۰۳	۱۴۰	۸۳	۸۳	۱۴۵	۲۱۲	۲۰۵	۲۰۱	۲۵۵	۲۳۹	۲۴۱	۲۷۳	۸۸	
Y (ppm)	۱۰۵	۱۲۲	۱۰۲	۹۸	۱۳۸	۱۲	۱۶۸	۱۶۶	۱۲۹	۱۴۳	۱۳۴	۶۱	۵۸	۱۳۴	۱۷۲	۱۷۴	۲۲۱	۲۲۲	۲۲	۱۸۴	۱۹۴	۲۵۵	
Yb (ppm)	۱۰۴	۱۲۴	۰۹۸	۰۹۴	۱۳۸	۱۲۶	۱۸	۱۷۳	۱۴۸	۱۶	۱۲۲	۰۴۸	۰۴۹	۱۱۹	۱۶۱	۱۶۱	۱۷۲	۲۱۹	۲۰۱	۱۷	۱۸	۲۷۶	
Zr (ppm)	۱۰۹	۱۲۸۵	۱۱۳۵	۱۱۳۵	۱۰۷۵	۱۱۰۵	۱۱۸	۹۱۶	۹۰۷	۹۷۵	۱۲۳	۱۱۹	۱۲۸۵	۱۳۴۵	۱۰۷	۱۵۱۰	۲۴۹	۲۱۰	۲۰۵	۱۲۶	۱۰۲۵	۳۲۰	



شکل ۱ نقشه زمین‌شناسی ساده شده منطقه مورد مطالعه.

ثانوی دیده می‌شود. به نظر می‌رسد که برخی از آمفیبیول‌ها (هورنبلند و ترمولیت - اکتینولیت) در نتیجه دگرسانی پیروکسن‌ها حاصل شده باشند.

بیوتیت (۱۵ -٪) به صورت صفحات ریز تا متوسط ($<2\text{mm}$) حضور دارند و در بیشتر موارد به طور بخشی به کلریت (پینین) و اکسید آهن (هماتیت و گوتیت) تبدیل شده است (شکل ۲-g). برخی از پولک‌های ریز بیوتیت ثانوی و محصول دگرسانی هورنبلندها هستند. این پولک‌ها گاهی تا ۱۵٪ حجم سنگ را تشکیل می‌دهند. برخی از بیوتیت‌های اولیه شکل خمیده (Kink band) داشته که نشانگر تنشهای وارد به آنها بطور همزمان یا پس از جایگیری توده نفوذی است.

آلکالی فلدوپار (۱۵ -٪) بیشتر اورتوز، در زمینه ریز دانه سنگ و برخی بصورت درشت‌دانه حضور داشته و بطور بخشی به سریست دگرسان شده است.

کوارتز (۱۵ -٪) به صورت اولیه و ثانویه در چند نمونه دیده شد که به صورت میان بلوری ریزدانه در متن سنگ یا رگچه‌ای (شکل ۲-h) دیده می‌شود.

الیوین ($<5\%$) به مقدار اندک و در اندازه‌های ریز ($<500\mu\text{m}$) در برخی از نمونه‌ها حضور داشته و برخی از آنها به کانی‌های رشته‌ای مانند آنتوفیلیت تبدیل شده است.

کلسیت (۵ -٪) بیشتر حاصل دگرسانی پلازیوکلازها و کانی‌های آهن - منیزیم‌دار بوده (شکل ۲-a) و به صورت سودومورف کانی‌های اولیه، پرکننده فضاهای خالی و نیز به همراه مقادیر زیادی کلریت، اپیدوت و اورالیت کدر دیده می‌شود.

اپیدوت (۳ -٪) به صورت ریز تا متوسط حاصل از دگرسانی پلازیوکلازها (شکل ۲-d) و کانی‌های آهن - منیزیم‌دار همراه با کانی‌های ثانویه دیگر دیده می‌شود.

تورمالین (۰.۵ -٪) بیشتر به صورت پولک‌های ریز و پراکنده و نیز به صورت اسفلولیتی و شعاعی دیده می‌شود. این کانی یا در زمینه سنگ و یا به صورت لکه‌هایی درون درشت بلورهای پلازیوکلاز حضور داشته و بنظر می‌رسد که از دگرسانی پلازیوکلازها حاصل شده باشد. XRD و ریزپردازش این سنگ‌ها نشان می‌دهد که تورمالین‌ها از نوع دراویت (سدیم و منیزیم‌دار) هستند.

آپاتیت به شکل تیغه‌های نسبتاً بلند و نازک بیشتر به صورت میانبار در درشت بلورهای پلازیوکلاز یا در زمینه ریزدانه

سنگ شناسی توده‌های نفوذی

توده نفوذی اینچه در بخش بزرگی از منطقه مورد مطالعه نفوذ کرده و همیری مشخصی با توده‌های آتشفسانی و نیمه عمیق قدیمی‌تر نشان می‌دهد. دایک‌های ریشه گرفته از این توده نیز در بخش‌های مختلف توده‌های ائوسن نفوذ کرده‌اند. در نمونه‌های دستی، این سنگ‌ها به رنگ قهوه‌ای روشن بافت دانه دار بوده و بلورهای نسبتاً درشت پلازیوکلاز در آنها به چشم می‌خورند. کانی‌های اصلی توده‌های نفوذی شامل پلازیوکلاز، پیروکسن و هورنبلند، و بافت‌های غالب در این سنگ‌ها شامل پورفیریک با خمیره ریز تا درشت بلور (شکل ۲-a)، دانه دار (شکل ۲-d)، افیتیک و تراکیتوبنیدی هستند. درشت بلورهای موجود در این سنگ‌ها بیشتر به صورت پلازیوکلاز (شکل ۲-a، ۲-b و ۲-c) و به ندرت پیروکسن (شکل ۲-e)، هورنبلند (شکل ۲-f) و بیوتیت (شکل ۲-g) دیده می‌شوند.

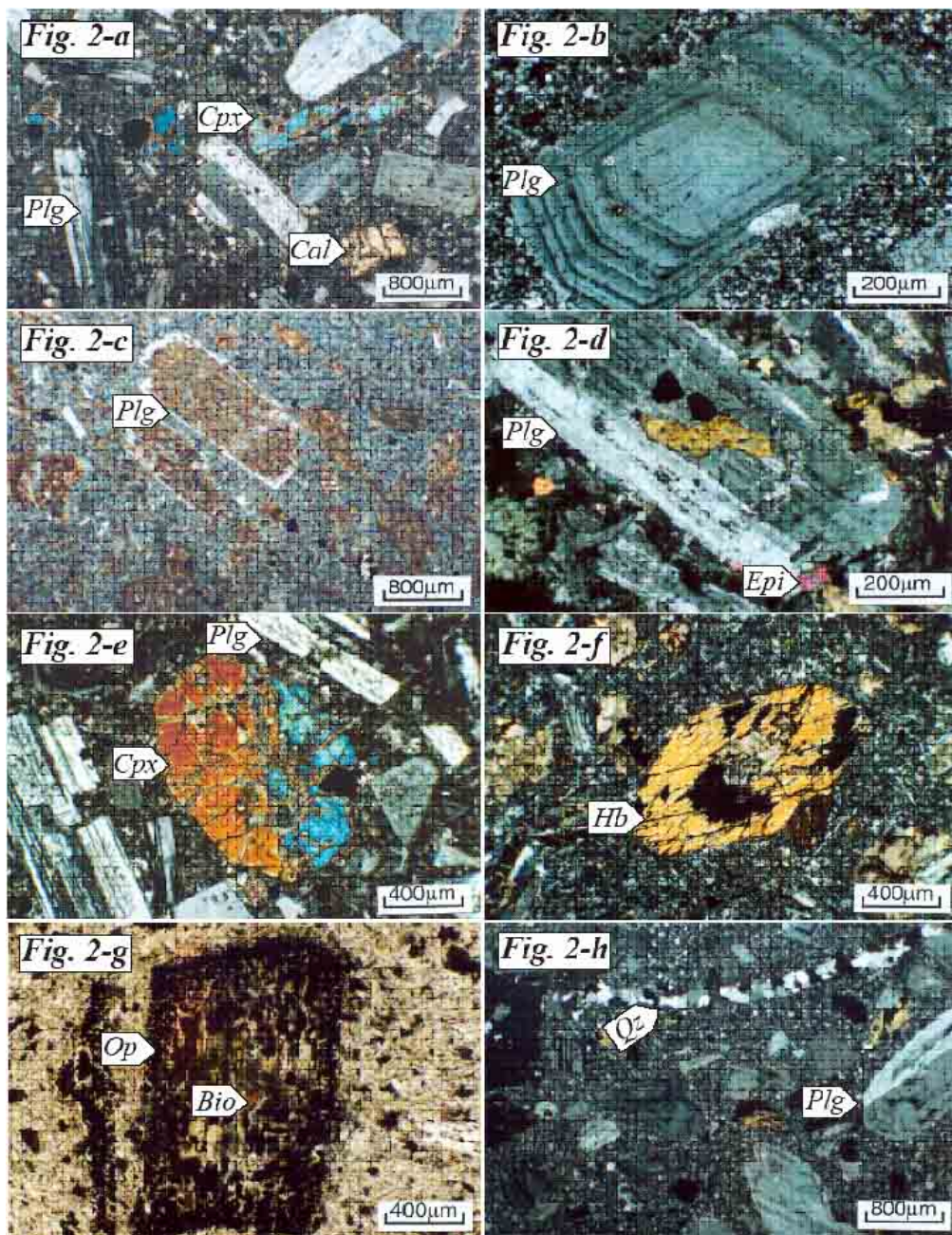
پلازیوکلاز (۷۰ -٪) از نظر ترکیبی در حد آندزین-الیگوکلاز بوده ($\text{An} = ۵۷/۷ - ۳۶/۶$ ٪)، هم به صورت درشت بلورهای شکل‌دار تا نیمه‌شکل‌دار با ماکل پریکلین و آلبیتی (کوچکتر از ۷ میلیمتر) با منطقه‌بندی نوسانی و هم مرکز (شکل b)، و هم به صورت ریز دانه و میکرولیتی در زمینه سنگ حضور دارند. در بیشتر بلورهای پلازیوکلاز، بافت غربالی به چشم می‌خورد. پلازیوکلازها بطور بخشی به کانی‌های ثانویه از قبیل کلسیت (شکل ۲-a)، سریست، اپیدوت (شکل ۲-d)، کلریت، کوارتز و کانی‌های رسی (شکل ۲-c) دگرسان شده و اغلب حاوی میانبارهایی از آپاتیت، زیرکن و پیروکسن هستند. میانبارهایی پیروکسن حاکی از تبلور مقدم کلینوپیروکسن نسبت به پلازیوکلاز بوده‌اند، به طوری که افزایش فشار بخار آب سبب افزایش گستره پایداری کلینوپیروکسن و کاهش پایداری پلازیوکلاز شده است [۱۰].

پیروکسن (۲۰ -٪) از نوع کلینوپیروکسن (اوژیت) بوده است و به صورت شکل‌دار تا نیمه‌شکل‌دار ($<2\text{mm}$) دیده می‌شود (شکل ۲-e). این کانی‌ها شدیداً به کلریت، کلسیت، کانی‌های کدر، اکتینولیت و به مقدار کمتر به هورنبلند، اورالیت و اپیدوت دگرسان شده‌اند.

آمفیبیول (۲۰ -٪) بیشتر از نوع هورنبلند بوده و به صورت بلورهای متوسط ($<3\text{mm}$) شکل‌دار تا نیمه‌شکل‌دار حضور دارد (شکل ۲-f). این کانی بیشتر به کانی‌های ثانویه‌ای مانند کلسیت، کلریت، کوارتز و پرھنیت و به ندرت بیوتیت دگرسان شده است، به طوریکه گاهی سودومورف این کانی‌ها با کانی‌های

سینودیوریت، و دیوریت و تعداد معدودی از آنها در گستره گابرو قرار می‌گیرند (شکل ۳). در نمودار (Nb/Y) [۱۲] نیز تعداد زیادی از نمونه‌ها در گستره دیوریت و سینودیوریت و اندکی از آنها نیز در گستره گابروئی قرار می‌گیرند (شکل ۴).

سنگ و زیرکن به مقدار فراوان در متن سنگ یا در درون درشت بلورها حضور دارد. بنابراین از نظر کانی‌شناختی، نمونه‌های توده اینچه دارای ترکیب دیوریت تا کوارتزدیوریتی هستند، ولی در رده‌بندی شیمیائی در نمودار $\text{SiO}_2 - (\text{Na}_2\text{O} + \text{K}_2\text{O})$ [۱۱] بخش بیشتر نمونه‌ها در گستره کوارتزدیوریت (گرانودیوریت)،



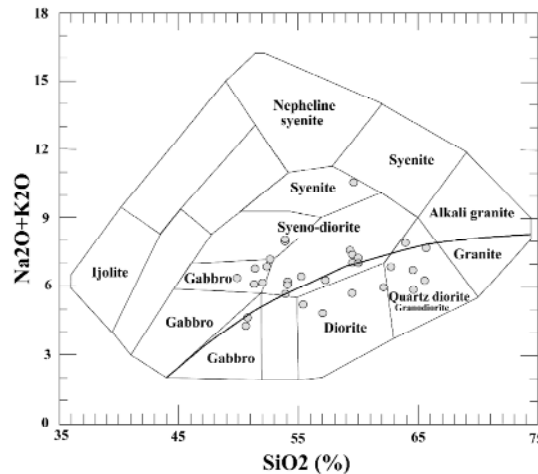
شکل ۲ **a** - بافت پورفیری در توده اینچه (XPL)، **b** - منطقه‌بندی هم مرکز در پلازیوکلаз (XPL)، **c** - تجزیه پلازیوکلاز به کانی‌های رسی (XPL)، **d** - تبدیل پلازیوکلاز به اپیدوت و دیگر کانی‌های ثانویه (XPL)، **e** - درشت‌بلور کلینوپیروکسن (XPL)، **f** - درشت‌بلور شکل‌دار هورنبلندر (XPL)، **g** - درشت‌بلور بیوتیت اپاسیتی شده (PPL)، **h** - کوارتز به صورت رگچه‌ای و زمینه‌ای (XPL).

نورماتیو در هیچیک از نمونه‌ها مشاهده نشده است. میزان آنورتیت نورماتیو از ۷٪ تا ۴٪۳۴ ، ارتوز نورماتیو از ۴٪ تا ۳٪۳۵ و آلبیت نورماتیو از ۱۹٪ تا ۵٪۰۵ متغیر است.

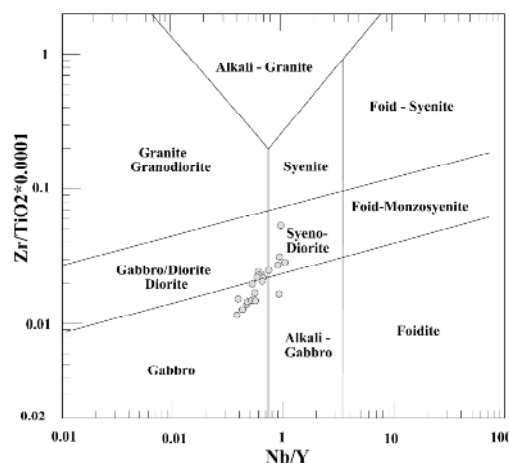
ژئوشیمی عناصر اصلی

برای بررسی روند تغییرات اکسیدهای عناصر اصلی این سنگ‌ها و تعیین مسیر تحولات مagma می‌باشد. اکسید - اکسید [۱۳] و شاخص تفریق [۱۴] در مقابل اکسیدهای عناصر اصلی استفاده شده است. در نمودارهای هارکر (شکل ۵) روند تغییرات نسبتاً منظم است. در این نمودارها، با افزایش میزان SiO_2 مقادیر MgO , CaO , FeO , Fe_2O_3 و TiO_2 سیر نزولی نشان می‌دهند. این فرایند می‌تواند میان تشکیل تیتانومگنتیت، پیروکسن، پلازیوکلаз، و آپاتیت و جدایش آنها از آبگون سیلیکاته باشد که سبب تحولات کانی‌شناسی و ژئوشیمیائی در توده نفوذی می‌شوند. البته نبایستی منطقه‌بندی ترکیبی توده نفوذی را نیز از نظر دور داشت. در مورد تغییرات CaO ، دو روند نزولی با شبیه متفاوت قابل مشاهده است که اولی با شبیه تند در گستره SiO_2 , SiO_2 ۵۵٪ - ۵۰٪ مربوط به تبلور بخشی پلازیوکلاز کلسیک است که روند MgO و ثابت بودن مقدار آن در این گستره مؤید آن است و دومی با شبیه نزولی ملایم‌تر در گستره SiO_2 , SiO_2 ۶۷٪ - ۵۵٪ مربوط به تبلور بخشی همزمان کلینوپیروکسن و پلازیوکلاز کلسیم دار است. روند کاملاً مشابه تغییرات MgO , CaO ، FeO و Al_2O_3 نیز می‌تواند نشانگر تبلور بخشی کلینوپیروکسن باشد. روند نزولی شدید TiO_2 نیز نشانی از مشارکت Ti در ساختار مگنتیت، پیروکسن و کانی‌های دیگر آهن - منیزیم‌دار است. روند نسبتاً ثابت و تقریباً افقی Nb/Y - $\text{Zr}/\text{TiO}_2 \times 0.0001$ بیانگر تفرقی بخشی پلازیوکلاز و فلدسپات پ TAS [۱۱] می‌باشد. در این نمودار Na_2O نشانگر تبلور بخشی پلازیوکلاز و تشکیل پلازیوکلاز سدیک با افزایش سیلیس ماقماً بوده و پراکندگی و روند ثابت K_2O نیز می‌تواند مربوط به فرایندهای ذوب بخشی و نیز اختلاط magma و آلاش باشد.

در نمودار CaO - MgO (شکل ۶) یک روند کلی صعودی مشاهده می‌شود که نشانگر مصرف همزمان MgO و CaO بوده و دال بر تبلور بخشی کلینوپیروکسن و تفرقی magma مولد است. این ویژگی از نمودارهای متغیر نیز قابل استنباط است. نمودارهای DI بر حسب اکسیدهای عناصر اصلی (شکل ۷) نیز روندهایی مشابه با نمودارهای هارکر را نشان می‌دهند. در این نمودارها Na_2O و SiO_2 روندی صعودی، Fe_2O_3 ، Al_2O_3 و CaO روندی نزولی، MgO روندی TiO_2 متغیر است.



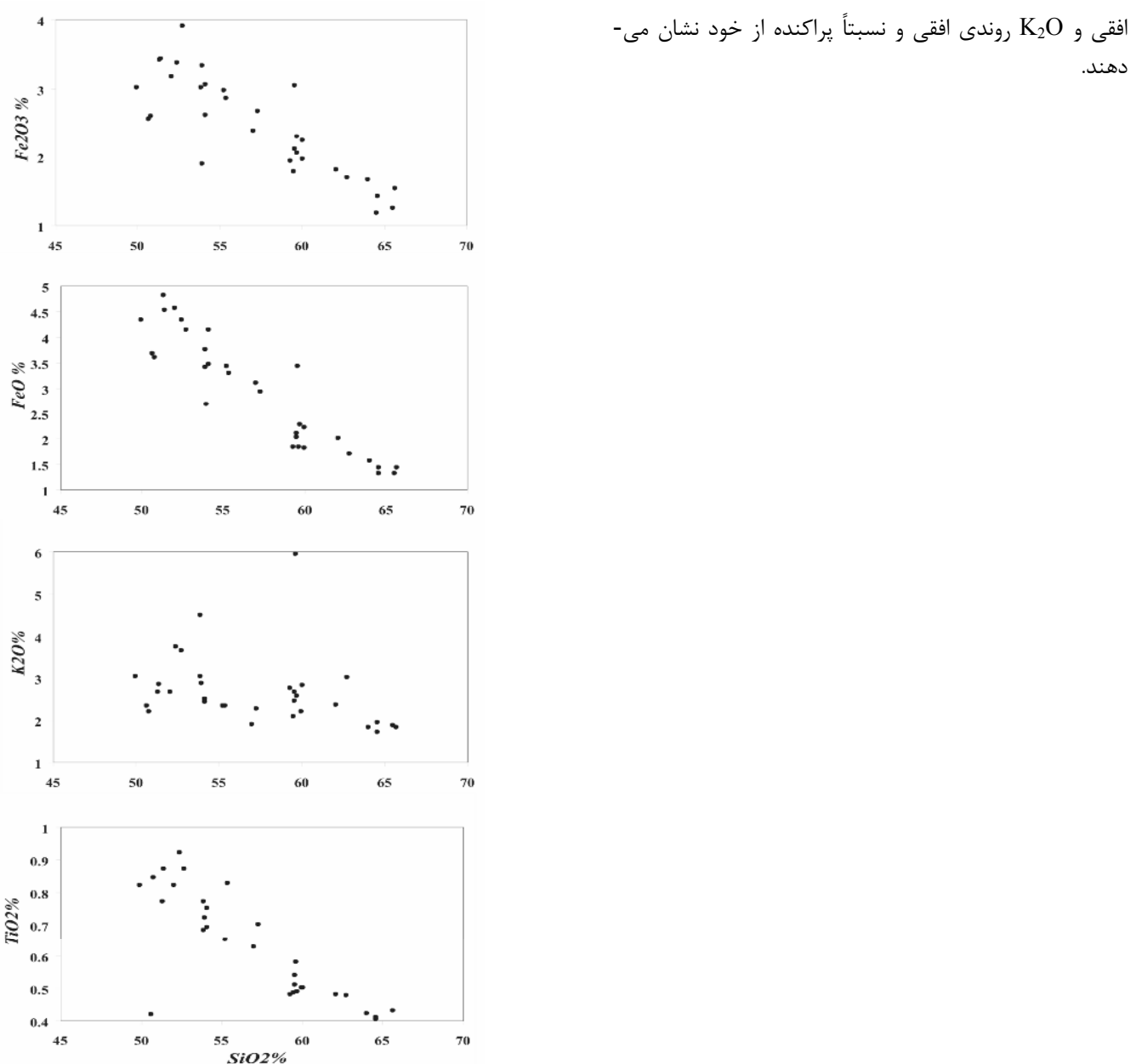
شکل ۳ موقعیت نمونه‌ها در دیاگرام TAS [۱۱]



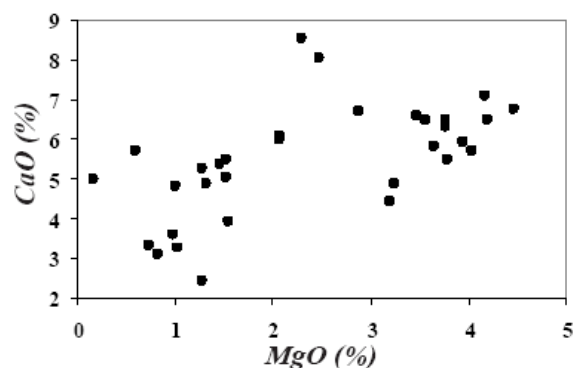
شکل ۴ موقعیت نمونه‌ها در دیاگرام Nb/Y - $\text{Zr}/\text{TiO}_2 \times 0.0001$ [۱۲]

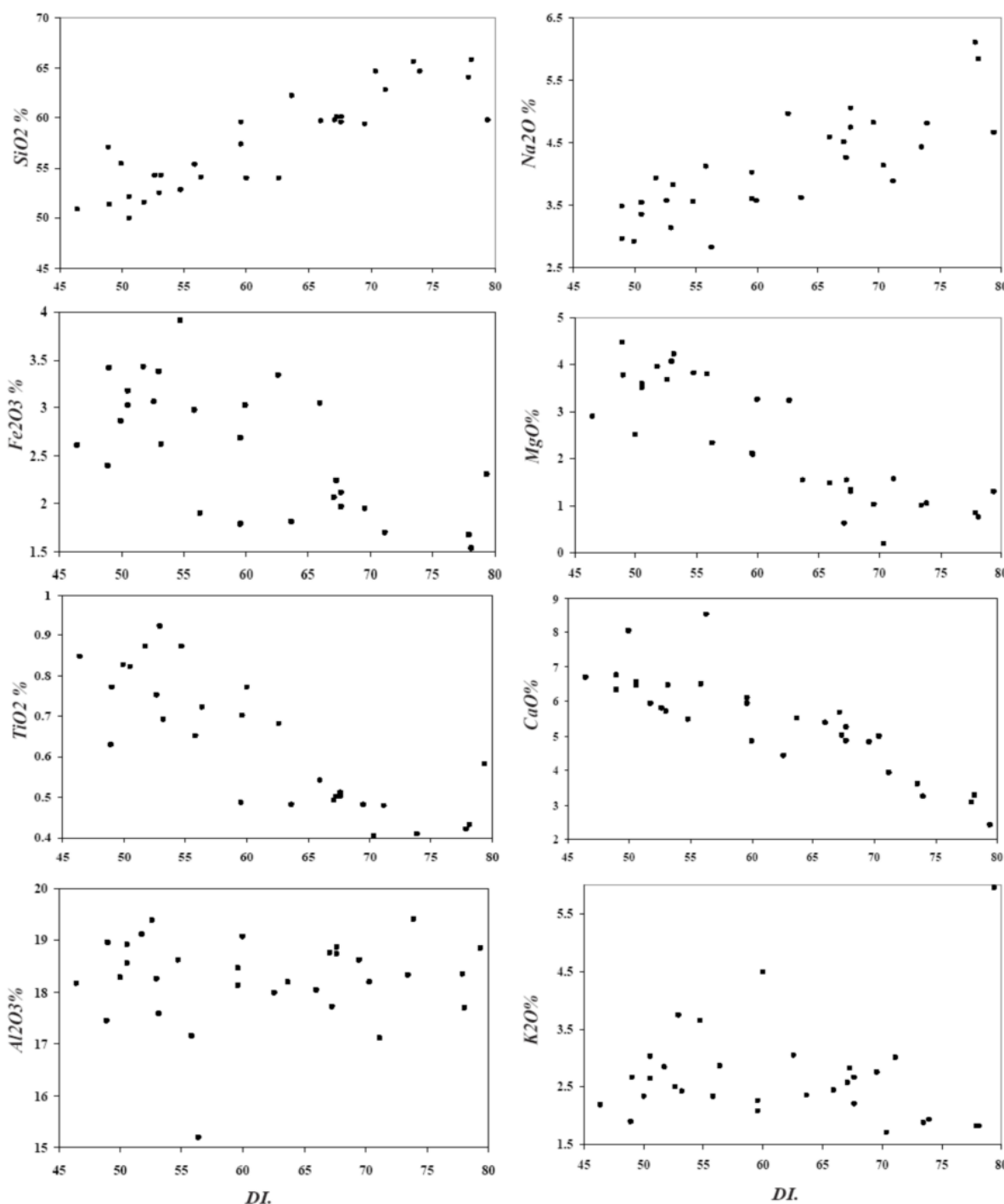
پتروشیمی

درصد سلیس نمونه‌های توده نفوذی اینچه از ۴۹٪۷ تا ۶۵٪۷۱ متغیر، و میانگین درصد سلیس در آنها ۵۷٪۳٪ است. بیشترین و کمترین میزان $\text{Na}_2\text{O} + \text{K}_2\text{O}$ در این سنگ‌ها به ترتیب ۱۰٪۶ و ۴٪۲۸ با میانگین ۶٪۶۲ است. میزان $\text{Na}_2\text{O}/\text{K}_2\text{O}$ این سنگ‌ها بالاست و در بیش از ۸۰٪ نمونه‌ها به بیش از یک می‌رسد. درصد آلومین توده نفوذی بین ۱۵٪۱۸ تا ۱۹٪۱۷٪ با میانگین ۱۸٪۱۷٪ است و اغلب ویژگی متآلومینوس از خود نشان می‌دهند. این سنگ‌ها به ندرت در گستره پراآلومینوس قرار می‌گیرند (شکل ۱۴). میزان TiO_2 پایین و از ۰٪۳۸ تا ۰٪۹۲ با میانگین ۰٪۶۲٪ متغیر است. همه نمونه‌های تجزیه شده در ترکیب ساختاری خود دارای کوارتز در گستره بین ۱٪۰۵ تا ۲٪۴۱٪ با میانگین ۱٪۱۰٪ است. الیوین و نفلین



شکل ۵ نمودارهای اکسید-اکسید هارکر [۱۳] برای نمونه‌های توده نفوذی اینچه.



شکل ۶ نمودار $MgO - CaO$ نمونه‌های توده اینچه.

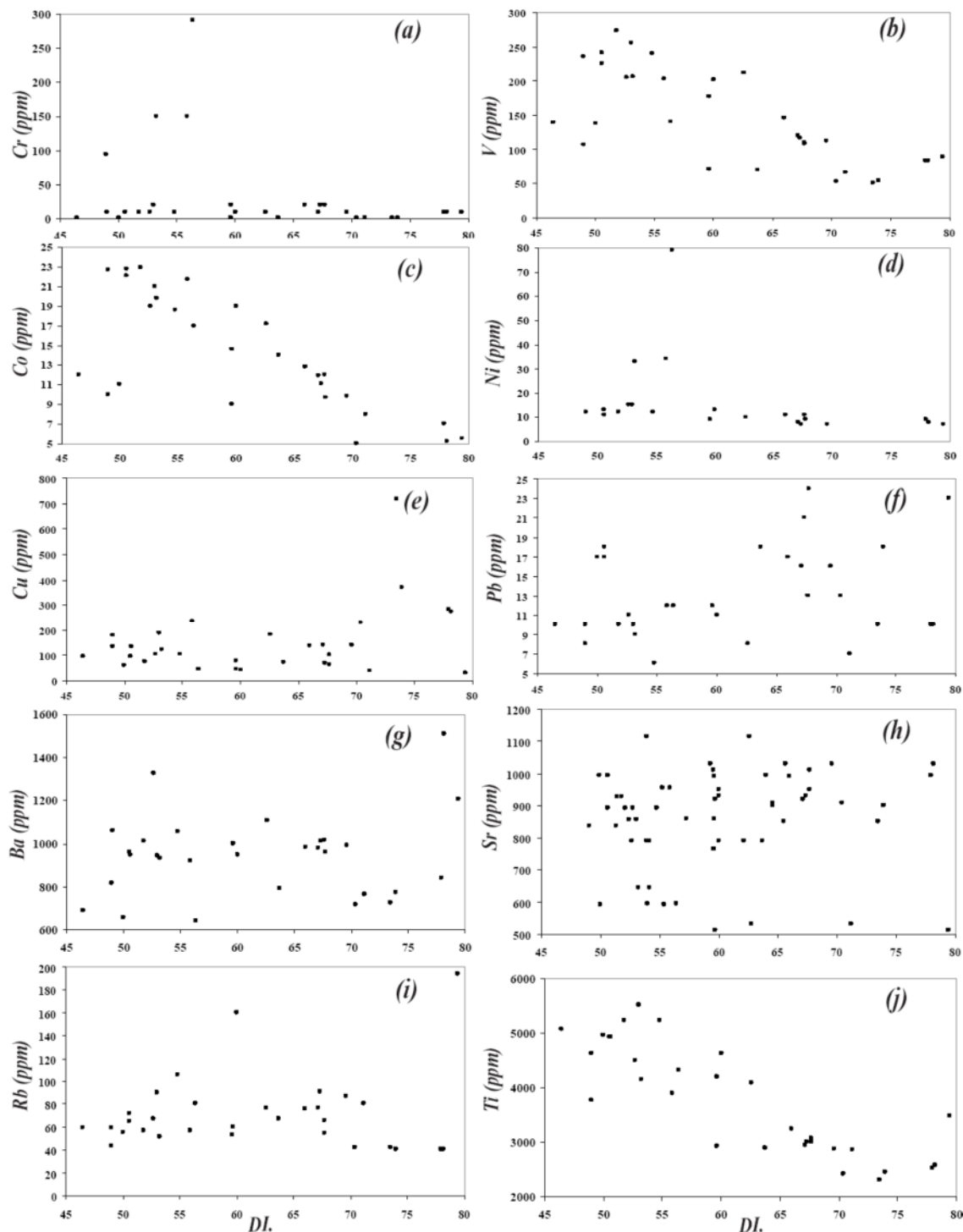
شکل ۷ نمودار اکسیدهای اصلی بر حسب DI برای نمونه‌های توده اینچه [۱۴].

فاقد روند مشخصی است که می‌توان این مسئله را به پدیده‌هایی مثل هضم و آلایش نسبت داد (شکل ۸-a). V و Co (شکل‌های c, b, a) دارای روند نزولی مشخصی است که

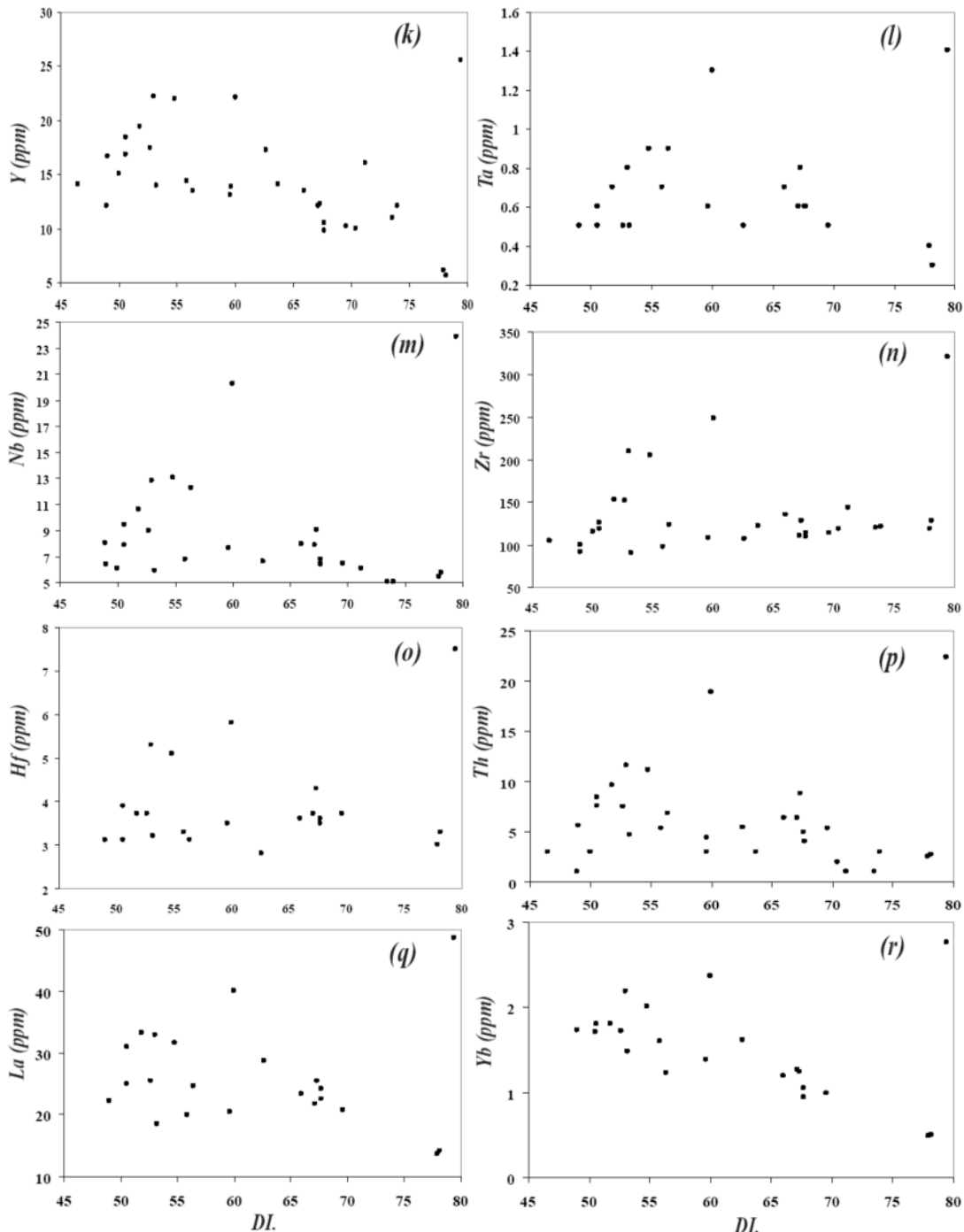
ژئوشیمی عناصر کمیاب و فرعی بررسی تغییرات عناصر کمیاب به موازات تفریق در توده نفوذی اینچه (شکل ۸) نشان می‌دهد که با افزایش شاخص تفریق

چندین نمونه تغليظ شده است که می‌توان اين پدیده را به عدم تشکيل سيليکات‌های حاوي مس و تغليظ در آبگون باقی‌مانده دانست.

نشانگر مشارکت اين عناصر در ساختار کانی‌های آهن - منیزیم‌دار نظیر الیوین، پیروکسن، و نیز مگنتیت طی تحول ماگمائي است. Ni دارای روند نزولی ملایمی است که می‌توان آن را به مشارکت در شبکه الیوین مربوط دانست، چنانکه بالا بودن Ni در چند نمونه نیز مربوط به حضور الیوین در نمونه‌های بازيک است (شکل ۸-d). در نهايیت Cu (شکل ۸-e) دارای روند نسبتاً ثابت و افقی است و در مراحل نهايی در



شکل ۸ نمودارهای DI بر حسب عناصر فرعی و کمیاب [۱۴].



شکل ۸ (ادامه) نمودارهای DI بر حسب عناصر فرعی و کمیاب [۱۴].

تغییرات Ba (شکل ۸-g) مشابه K_2O است که می‌تواند علامت نشستن Ba به جای K باشد. در نمونه‌های اسیدی، این عنصر

عناصر Pb و LILE (شکل ۸-f)، تا حدی دارای روند نزولی است که دلالت بر تمرکز آن در مذاب‌های نهائی است. روند

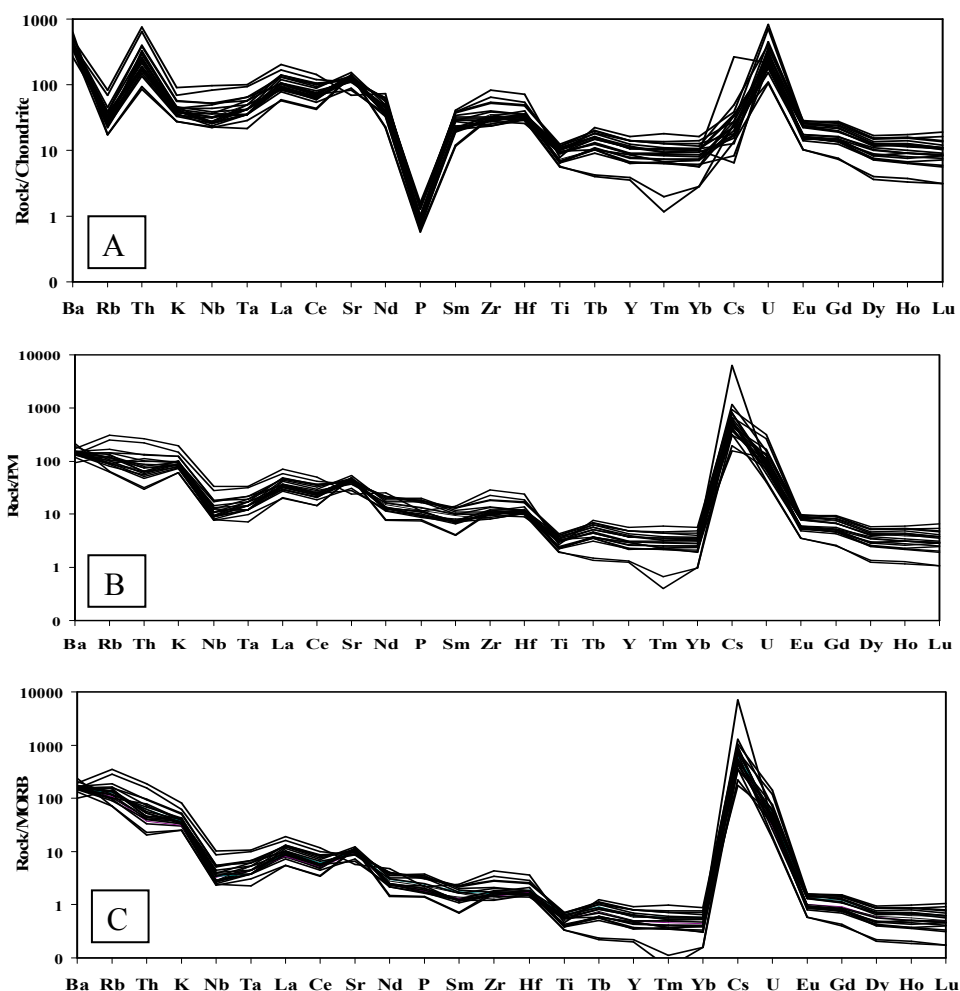
بخشی پلاژیوکلاز و فراوانی مودال آن در نمونه‌های حد واسط باشد. افزایش ناگهانی مقادیر این عناصر نیز در شرایط به شدت اسیدی قابل مشاهده است. عموماً تمرکز این عناصر در شبکه کانی‌هایی نظیر آلانیت و مونازیت صورت می‌گیرد که این افزایش ناگهانی شاید باز تابی از تبلور این کانی‌هاست.

در نمودارهای عنکبوتی گروه عناصر کمیاب که بر حسب کاهش ناسازگاری مرتب شده‌اند (شکل ۹) ناهنجاری مشخص و مثبتی از عناصر Ba, Th, Rb, La, Hf, Zr, Cs, و U و نیز ناهنجاری منفی از عناصر P, Tm, و تا حدی Ti به چشم می‌خورد. به نظر می‌رسد که تبلور بخشی اکسیدهای Fe و Ti یا جدایش کانی‌های آهن – میزیمی‌دار حاوی Ti, مهمترین دلیل ناهنجاری منفی این عنصر بوده و تبلور بخشی آپاتیت نیز سبب ناهنجاری منفی P شده است. تأثیر پوسته قاره‌ای در تکوین و تحول ماقمای مولد این توده‌های نفوذی نیز سبب ایجاد ناهنجاری‌های مثبت عناصر یاد شده، می‌باشد. همچنین ناهنجاری مثبت Lu, Hf, Zr, و در این توده‌ها به دلیل حضور مقادیر زیادی کانی زیرکن است.

دارای افزایش ناگهانی است که مربوط به تبلور فلدسپار قلیایی و بیوتیت و نیز تغییر در مودال کانی‌ها است. روندهای پراکنده در مورد Sr و Rb (شکلهای ۸-h,i) را می‌توان به پدیده‌هایی مانند اختلاط و هضم نسبت داد.

عناصر گروه Ti, HFSE (شکل ۸-j) روند نزولی مشخصی داشته که نشانی است از شرکت آن در ساختار کانی‌های آهن – میزیمی‌دار. Y, Ta, I, m و Nb (شکلهای ۸-k) دارای روند افزایشی و سپس کاهشی بوده و شکل زنگوله‌ای این روندها نشانگر مشارکت در شبکه آمفیبول است. Th, Hf, Zr, و Th (شکلهای ۸-n, o, p) دارای روندهای مشابه (تقریباً صعودی) بوده که همگی نشانگر غنی‌شدنی در نمونه‌های اسیدی و جایگزینی در شبکه زیرکن‌اند. پراکنده‌ی و بی‌نظمی نسبی در این روندها نیز می‌تواند به پدیده‌های هضم و آلایش مربوط باشد.

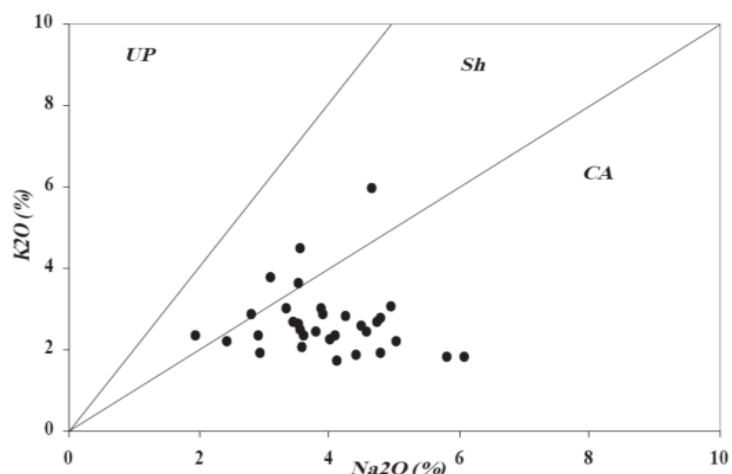
عناصر نادر خاکی (REE) شامل La (شکل ۸-q) و Yb (شکل ۸-r)، روندهای نسبتاً مشابهی داشته و در نمونه‌های حدوداً بیشترین مقدار را دارند که می‌تواند نشانگر تبلور



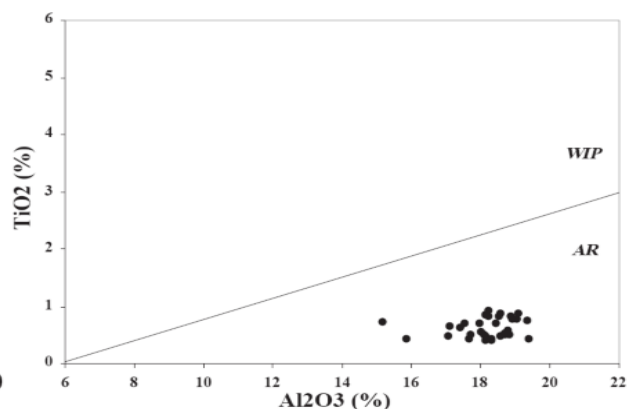
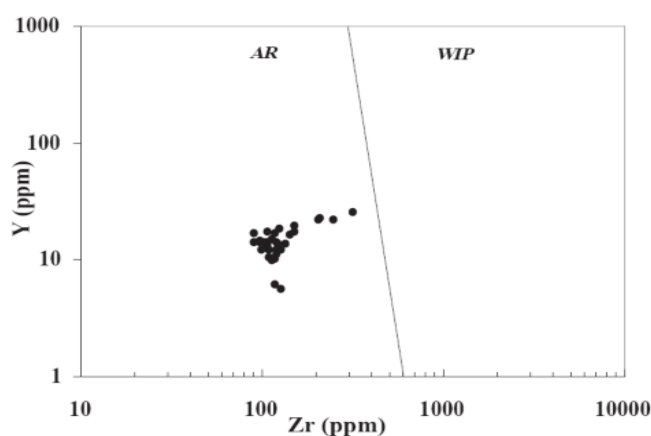
شکل ۹ نمودارهای عنکبوتی عناصر کمیاب توده اینچه که بر حسب کاهش ناسازگاری مرتب شده‌اند. (A: بهنجار شده به کندrit، B: بهنجار شده به PM و C: بهنجار شده به MORB).

شدت دگرسانی گرمابی در این منطقه که آثار این تغییرات حتی در توده‌های نفوذی که نسبت به توده پورفیری تأخیری-ترند نیز دیده می‌شود، به نظر می‌رسد که استفاده از نمودارهای یاد شده نتیجه‌ای بهتر از نمودارهایی دارد که در آنها از اکسیدهای عناصر اصلی استفاده شده است. با توجه به نتایج این نمودارها به طورکلی می‌توان گفت که ماجمای مولد سنگ‌های توده نفوذی در منطقه سوناجیل دارای سرشت شوشومنیتی و کالکوآلکالن با پتاسیم بالا بوده و سری شوشومنیتی، غالب است. برای شناسایی محیط زمین ساختی توده‌های نفوذی اینچه از نمودارهای مختلف به شرح زیر استفاده شد:

محیط زمین ساختی و سنگ زایی توده‌های نفوذی
برای تعیین سری ماجمای سنگ‌های توده نفوذی از نمودارهای Ce/Yb-Ta/Yb و Th/Yb-Ta/Yb [۱۵] و Na₂O-K₂O [۱۶] استفاده شد. در نمودار Na₂O-K₂O [۱۶]، بخش بیشتر نمونه‌های توده نفوذی در گستره کالکوآلکالن با پتاسیم بالا و نسبت $K_2O/Na_2O < 1$ قرار گرفته و بقیه آنها در گستره Th/Yb-شوشومنیتی قرار گرفته‌اند (شکل ۱۰). در نمودارهای Ce/Yb-Ta/Yb و Ta/Yb [۱۶] که از عناصر نا متحرک HFSE با نسبت‌های Ce/Yb-Ta/Yb، Ta/Yb، Ce/Yb، Th/Yb و Ca/Yb استفاده شده (شکل ۱۱)، بخش اعظم نمونه‌ها در گستره شوشومنیتی و تعداد معنودی در گستره کالکوآلکالن قرار گرفته‌اند. با توجه به



شکل ۱۰ نمودار Na₂O - K₂O [۱۵] برای تعیین سری ماجمای نمونه‌های توده نفوذی اینچه.



شکل ۱۱ نمودارهای $\text{Th/Yb} - \text{Ta/Yb}$ و $\text{Ce/Yb} - \text{Ta/Yb}$ برای تعیین سری مagmae نمونه‌های توده نفوذی اینچه.

همخوانی خوبی بین این توده با توده‌های نفوذی شیلی در آن [۱۶]، یا به عبارتی گرانیت‌وئیدهای وابسته به قوس‌های آتشفشاری وجود دارد. این توده‌ها دارای ناهنجاری مثبت و مشخصی از K_2O , Rb , Th , Y , Zr , Yb , Ba و Hf ، Y و ناهنجاری منفی، $\text{Ce}/\text{P}_2\text{O}_5$ - Zr/TiO_2 پس برخورده است که در این نمودار، نمونه‌های توده اینچه در گستره قوس‌های پس برخورده شد که در این نمودار، نمونه‌های توده اینچه در گستره قوس‌های پس برخورده (PAP) قرار گرفته‌اند.

در نمودارهای سه متغیره ($\text{Rb}/10-\text{Hf}-3\text{Ta}$)، ($\text{Nb}-\text{Y}-\text{Hf}-3\text{Ta}$) [۱۹] نمونه‌های توده نفوذی در گستره قوس‌های آتشفشاری با تمایلی مشخص به سمت جایگاه‌های پس برخورده قرار می‌گیرند (شکل ۱۳A, B).

در نمودار A/CNK-A/NK [۲۰] بخش بیشتر نمونه‌های توده نفوذی دارای ویژگی متالومینوس و تعداد کمی از آنها پرآلومینوس‌اند (شکل ۱۴). در نمودار $\text{Nb}-\text{Y}$ [۱۶] تمامی نمونه‌ها در گستره گرانیت‌های قوس‌های آتشفشاری و همزمان با برخورد ($\text{VAG} + \text{Syn-Col}$) قرار گرفته و در نمودار $(\text{Y} + \text{Nb})$ [۱۶] نمونه‌ها در گستره خارهای وابسته به قوس‌های آتشفشاری قرار می‌گیرند (شکل ۱۵-A). از مقایسه موقعیت نمونه‌های توده نفوذی در این نمودار با گستره پیشنهادی پیرس [۱۷] برای توده‌های نفوذی پس برخورده (شکل ۱۵-B) مشخص می‌شود که بخش عمده نمونه‌ها، به قوس‌های پس برخورده مربوط می‌شوند.

در نمودار $\text{Na}_2\text{O} + \text{K}_2\text{O} - \text{SiO}_2$ [۲۱] توده نفوذی اینچه بیشتر در گستره کالکوآلکالن و آلکالی کلسیک و چند نمونه در گستره قلایی و کلسیک قرار گرفته‌اند. همچنین در نمودار $\text{FeO}^t/\text{FeO}^t + \text{MgO}$ [۲۱] بخش اعظم نمونه‌های توده نفوذی در گستره گرانیت‌های کردیلرائی و دارای ترکیب منیزین قرار می‌گیرند (شکل ۱۶).

در نمودار عنکبوتی رسم شده برای عناصر کمیاب که نسبت به پلازیوگرانیت‌های شکاف میان اقیانوسی (ORG) بهنجار شده‌اند (شکل ۱۷)، با مقایسه دامنه تغییرات عیار این عناصر کمیاب در توده نفوذی اینچه، مشاهده می‌شود که

برداشت

- ۱- ترکیب سنگ‌شناسی توده نفوذی اینچه در حد دیوریت تا کوارتزدیوریت با بافت پورفیری و بندرت افیتیک، دانه‌ای و تراکیتوئیدی بوده و بدرون توده‌های قدیمی تر نفوذ کرده است.
- ۲- کانی‌های اصلی شامل پلازیوکلاز، پیروکسن، هورنبلند بوده و به صورت فرعی فلدسپار قلایی، بیوتیت، کوارتز، تورمالین و الیوین در این سنگ‌ها حضور دارند. کلسیت، اپیدوت، آنتوفیلیت، ترمولیت-اکتینولیت و کانی‌های رسی نیز به صورت ثانویه تشکیل شده‌اند.
- ۳- در نمودارهای شیمیائی، این سنگ‌ها در گستره کوارتز-دیوریت (گرانودیوریت)، سینودیوریت، دیوریت تا گابرو قرار می‌گیرند.
- ۴- مagma مولد این توده دارای سرشت کالکوآلکالن با پتاسیم بالا تا شوشومنیتی بوده و بررسی ویژگی‌های ژئوشیمیائی نشانگر دخالت پدیده‌های AFC در تحول آن است.
- ۵- این توده‌ها دارای ناهنجاری مثبت و مشخصی از K_2O , Rb , Th , Y , Zr , Hf , Yb و Ba و ناهنجاری منفی Ta هستند که نشانگر جایگیری در پوسته قاره‌ای با ضخامت زیاد تا متوسط و تاثیر ذوب بخشی و آلایش پوسته‌ای است. ضمناً ناهنجاری منفی عناصر نادر خاکی سنگین نشانده‌اند.

در نمودارهای ($\text{TiO}_2-\text{Al}_2\text{O}_3$), ($\text{Y}-\text{Zr}$) و ($\text{TiO}_2/\text{Al}_2\text{O}_3$) (شکل ۱۲) همه نمونه‌ها در گستره وابسته به قوس‌های آتشفشاری قرار می‌گیرند. برای تفکیک قوس‌های magma مثبتی حاشیه فعال قاره‌ای و قوس‌های magma پس برخورده نیز از نمودار ($\text{Ce}/\text{P}_2\text{O}_5-\text{Zr}/\text{TiO}_2$) استفاده شد که در این نمودار، نمونه‌های توده اینچه در گستره قوس‌های پس برخورده (PAP) قرار گرفته‌اند.

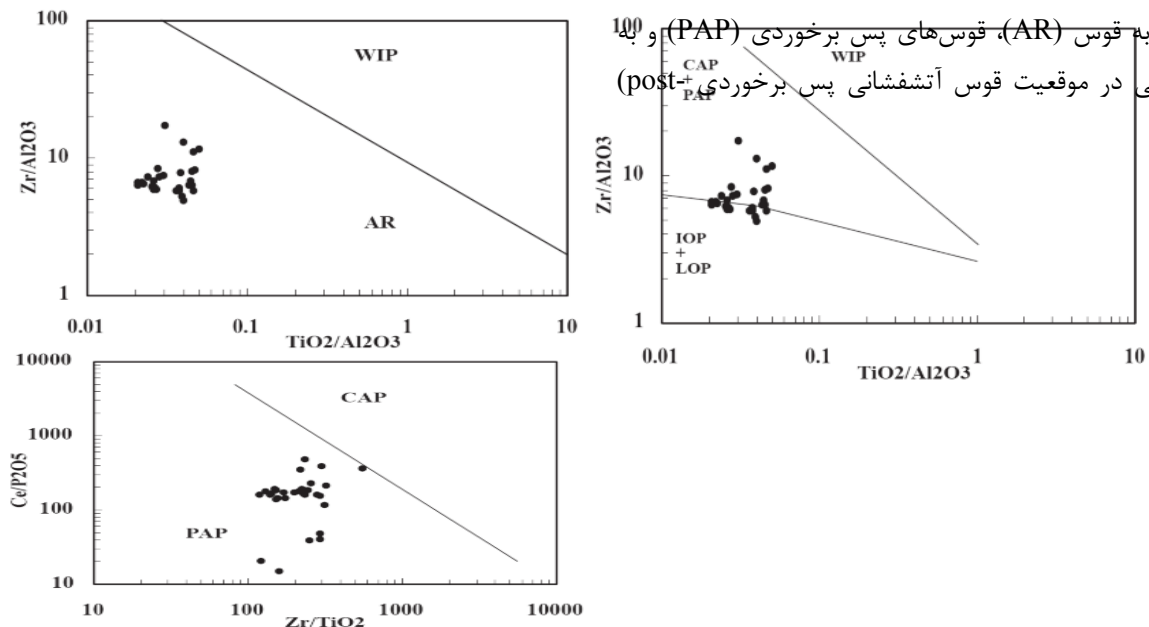
در نمودارهای سه متغیره ($\text{Rb}/30-\text{Hf}-3\text{Ta}$)، ($\text{Nb}-\text{Y}-\text{Hf}-3\text{Ta}$) [۱۹] نمونه‌های توده نفوذی در گستره قوس‌های آتشفشاری با تمایلی مشخص به سمت جایگاه‌های پس برخورده قرار می‌گیرند (شکل ۱۳A, B).

در نمودار A/CNK-A/NK [۲۰] بخش بیشتر نمونه‌های توده نفوذی دارای ویژگی متالومینوس و تعداد کمی از آنها پرآلومینوس‌اند (شکل ۱۴). در نمودار $\text{Nb}-\text{Y}$ [۱۶] تمامی نمونه‌ها در گستره گرانیت‌های قوس‌های آتشفشاری و همزمان با برخورد ($\text{VAG} + \text{Syn-Col}$) قرار گرفته و در نمودار $(\text{Y} + \text{Nb})$ [۱۶] نمونه‌ها در گستره خارهای وابسته به قوس‌های آتشفشاری قرار می‌گیرند (شکل ۱۵-A). از مقایسه موقعیت نمونه‌های توده نفوذی در این نمودار با گستره پیشنهادی پیرس [۱۷] برای توده‌های نفوذی پس برخورده (شکل ۱۵-B) مشخص می‌شود که بخش عمده نمونه‌ها، به قوس‌های پس برخورده مربوط می‌شوند.

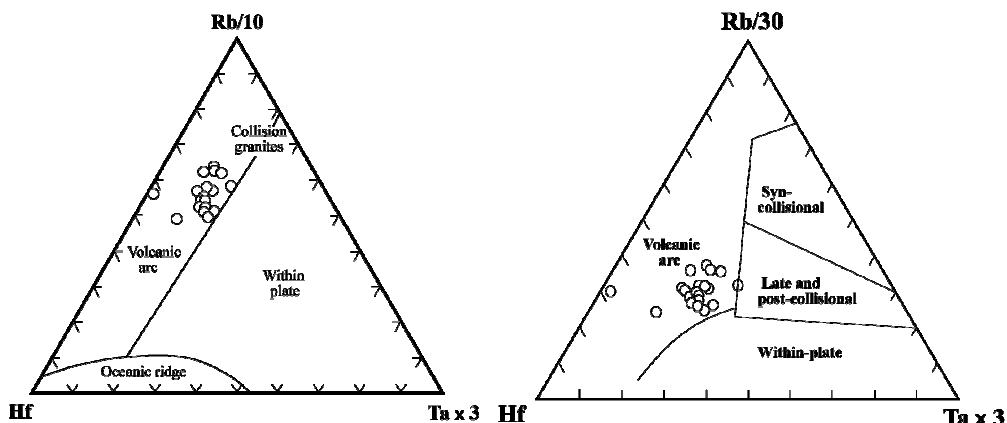
در نمودار $\text{Na}_2\text{O} + \text{K}_2\text{O} - \text{SiO}_2$ [۲۱] توده نفوذی اینچه بیشتر در گستره کالکوآلکالن و آلکالی کلسیک و چند نمونه در گستره قلایی و کلسیک قرار گرفته‌اند. همچنین در نمودار $\text{FeO}^t/\text{FeO}^t + \text{MgO}$ [۲۱] بخش اعظم نمونه‌های توده نفوذی در گستره گرانیت‌های کردیلرائی و دارای ترکیب منیزین قرار می‌گیرند (شکل ۱۶).

در نمودار عنکبوتی رسم شده برای عناصر کمیاب که نسبت به پلازیوگرانیت‌های شکاف میان اقیانوسی (ORG) بهنجار شده‌اند (شکل ۱۷)، با مقایسه دامنه تغییرات عیار این عناصر کمیاب در توده نفوذی اینچه، مشاهده می‌شود که

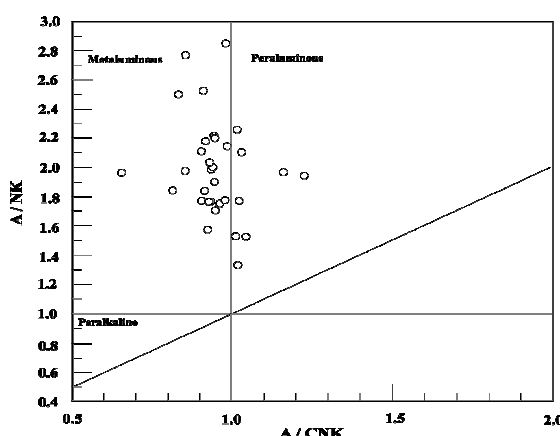
قرار می‌گیرند بنابراین توده اینچه ارتباطی به فرونش فعال نئوتیس ندارد.



شکل ۱۲ نمودارهای Ce/P_2O_5 - Zr/TiO_2 و $Zr/A12O_3$ - TiO_2 , $Y\text{-}Zr\text{-}TiO_2\text{-}Al_2O_3$, Ce/P_2O_5 - Zr/TiO_2 - Al_2O_3 برای تعیین موقعیت زمین ساختی توده نفوذی اینچه (WIP) : موقعیت داخل صفحه‌ای AR : وابسته به قوس‌های آتشفسانی CAP : قوس‌حواشی فعال قاره‌ای PAP : قوس پس برخورد IOP : قوس اقیانوسی آغازین LOP : قوس اقیانوسی تاخیری).



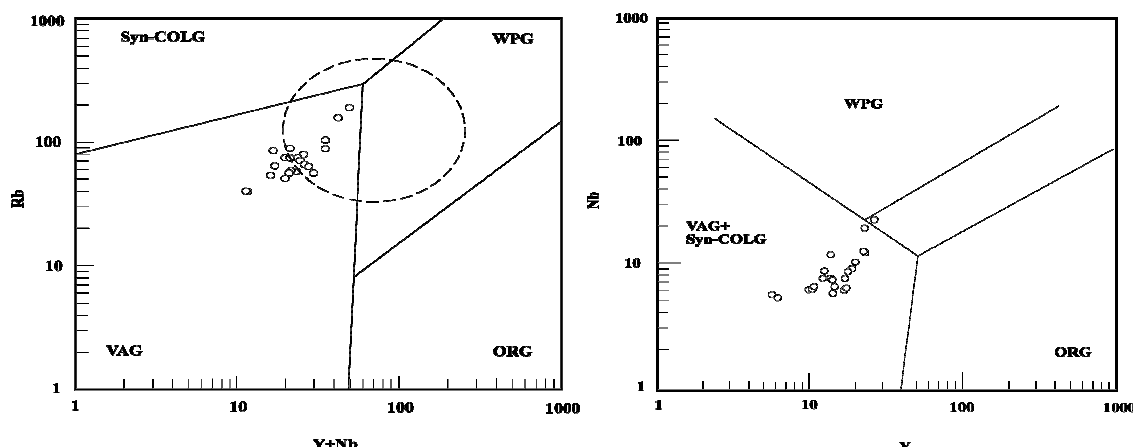
شکل ۱۳ نمودارهای سه متغیره تمایزکننده محیط‌های مختلف زمین ساختی (A) $(Rb/10\text{-}Hf\text{-}3Ta)$ (B) $(Rb/30\text{-}Hf\text{-}3Ta)$ (A) و (B).



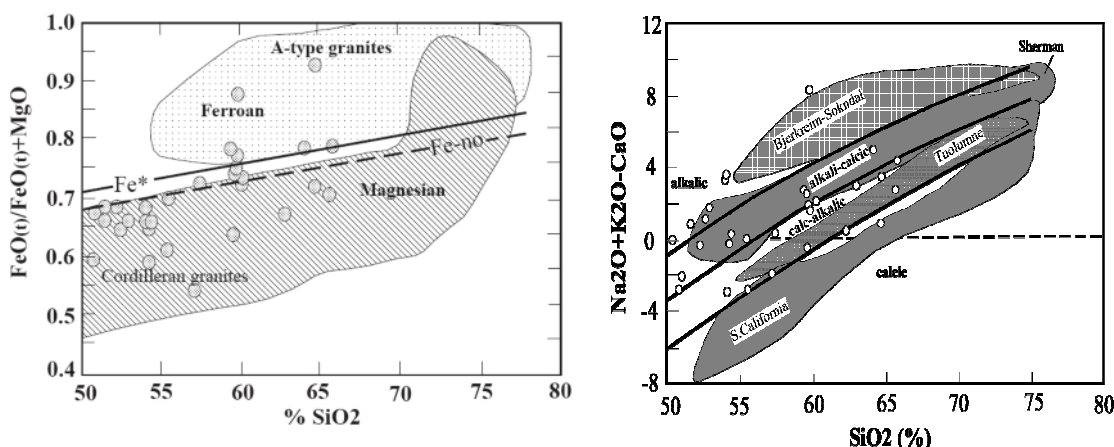
عمق زیاد تشکیل مagma و وجود گارنت و زیرکن در مواد خاستگاه این مagmaهاست.

۶- از نظر محیط زمین ساختی، نمونه‌های این توده در موقعیت وابسته به قوس (AR)، قوس‌های پس برخوردی (PAP) و (post-PAP) (post-CAP) کلی در موقعیت قوس آتشفسانی پس برخوردی طور

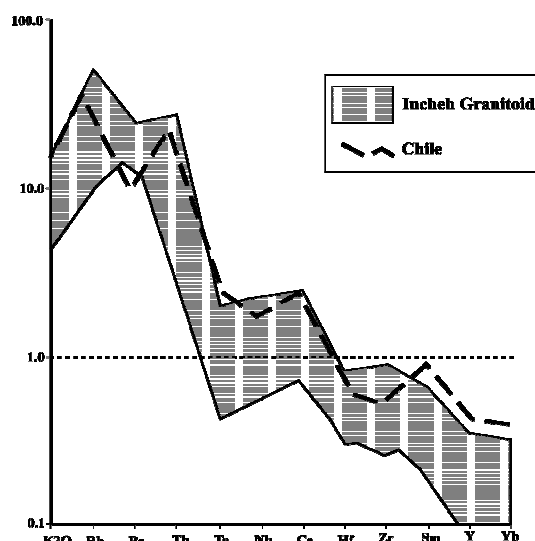
شکل ۱۴ نمودار [۲۰] A/CNK-A/NK برای تمایز توده‌های گرانیت‌وئیدی پرآلومینوس از متاآلومینوس.



شکل ۱۵ نمودار (A) Rb - (Y + Nb) (B) Nb - Y که برای رده‌بندی گرانیت‌وئیدها به کار می‌روند. بخش اعظم نمونه‌ها در نمودار B در گستره پس‌برخوردهای پیشنهادی پیرس [۱۷] قرار گرفته‌اند.



شکل ۱۶ (A) نمودار $(\text{FeOt}/\text{FeOt} + \text{MgO}) - \text{SiO}_2$ [۲۱] جهت تعیین سرشت ماقمایی و (B) نمودار $(\text{Na}_2\text{O} + \text{K}_2\text{O} - \text{CaO}) - \text{SiO}_2$ [۲۱] جهت تعیین تیپ گرانیت‌وئیدهای منطقه اینچه.



شکل ۱۷ نمودار عنکبوتی رسم شده برای عناصر کمیاب توده نفوذی اینچه که نسبت به پلاژیوگرانیت‌های شکاف میان اقیانوسی (ORG) بهنجار شده‌اند و مقایسه آنها با داده‌های مربوط به شیلی (گرانیت‌ویدهای قوس آتششانی) [۱۶].

time of eruption", Geochim. Cosmochim. Acta., 43, (1979) 1367-76.

[11] Cox K. G., Bell J. D., Pakhurst R. J., "The interpretation of igneous rocks", London, Allen and Unwin, (1979), 450p.

[12] Winchester J. A., Floyd P. A., "Geochemical discrimination of different magma series and their differentiation products using immobile elements", Chemical Geology, 16, (1977). 325-343.

[13] Harker A., "The natural history of igneous rocks", Macmillan, New York, (1909) 384pp.

[14] Thornton C. P., Tuttle O. F., "Chemistry of igneous rocks, I. Differentiation index", Am. Jour. Sa. 258 (1960), 665-684.

[15] Rogers N. W., James D., Kelley S. P., Mulder M., "The generation of potassic lavas from the eastern Virunga province, Rwanda", J. Petrol, V. 39 (1998), pp. 1223-1247.

[16] Pearce J. A., Harris N. B. W., Tindle A. G., "Trace element discrimination diagrams for the tectonic interpretation of granitic rocks", J. Petrol, V. 25 (1984), 956-983.

[17] Pearce J. A., "Source and setting of granitic rocks", Episode, V. 19, (1996), 120-125.

[18] Muller D., Groves D. I., "Potassic igneous rocks and associated gold-copper mineralization", Sec. Updated. Springer-Verlag, (1997), 242pp.

[19] Harris N. B. W., Pearce J. A., Tindle A. G., "Geochemical characteristics of collision – zone magmatism", In: Coward, M. P., and Reis, A. C., (ed), Collision tectonics. Spec. Publ. Geol. Soc., 19 (1986), 67-81.

[20] Maniar P. O., Piccoli P. M., "Tectonic discrimination of granitoids", Geol. Soc. Ame. Bull. 11, (1989), 635-643.

[21] Frost B. R., Barnes C. G., Collins W. J., Arculus R. J., Ellis D. J., Frost C. D., "A geochemical classification for granitic rocks", Journal of petrology, 42 (2001), 2033-2048.

[22] Harris C., "The petrology of lavas and associated plutonic inclusions of Ascension Island", J. Petrol. 24, (1983), 424-470.

تشکر و قدردانی

نگارندگان این مقاله از مدیریت محترم امور اکتشافات و امور تحقیق و توسعه شرکت ملی صنایع مس ایران، معاونت محترم تحقیقات تکمیلی دانشگاه تبریز و همچنین مرکز تحقیقات علوم پایه تبریز به خاطر حمایت مالی از این پژوهه تشکر و قدردانی می‌نمایند. بجاست مؤلفین از هیئت تحریریه و داوران محترم مجله بلورشناسی و کانی‌شناسی ایران نیز سپاسگزاری نمایند.

مراجع

- [۱] کاوشنگران (مهندسین مشاور)، "گزارش نهائی اکتشافات لیتوژئوشیمیائی در منطقه سوناجیل ۱،۵۰۰۰" (۱۳۸۵).
- [۲] کاوشنگران (مهندسین مشاور)، "گزارش برداشت دگرسانی-های منطقه سوناجیل" (۱۳۸۵).
- [۳] توسعه علوم زمین، "مطالعات ژئوفیزیکی بروش پلاریزاسیون القائی و معناطیس در منطقه سوناجیل" (۱۳۸۲).
- [۴] دفتر اکتشافات شمال‌غرب، "زمین‌شناسی کانسار مس سوناجیل" امور اکتشافات و مهندسی توسعه (۱۳۸۱).
- [۵] سلیمانی سید حسین، "مطالعات ژئوفیزیکی بر روی کانسار مس سوناجیل هریس" امور اکتشافات (۱۳۸۱).
- [۶] کریمی قره بابا حسین، عامری علی، جهانگیری احمد، کلاگری علی اصغر، "مطالعه پترولوزی و ژئوشیمی سنگ‌های آذرین شرق هریس در ارتباط با ژنر مس" دانشکده علوم طبیعی دانشگاه تبریز، رساله کارشناسی ارشد (۱۳۸۳).
- [۷] نبوی محمد حسن، "دیباچه‌ای بر زمین‌شناسی ایران" انتشارات سازمان زمین‌شناسی کشور (۱۳۵۵).
- [۸] Stoklin J., *Structural correlation of the Alpine ranges between Iran and central Asia: Memoir Hors serie de la Societe Geologique de France*, No. 8, (1977) P.333-335.
- [۹] مؤید محسن، "بررسی‌های پترولوزیکی نوار ولکانوپلیتونیک ترشیز البرز غربی - آذربایجان با تکریشی ویژه بر منطقه هشجین" پایاننامه دوره دکتری زمین‌شناسی گرایش پترولوزی، دانشگاه شهید بهشتی، (۱۳۸۰)، ۳۲۸ صفحه.
- [10] Sekine T., Katsra T., Aramaki S., "Water-saturated phase with aplacation to the estimation of the initial temperature and water pressure at the